



## СТРУКТУРНО-ФУНКЦИОНАЛЬНОЕ ИССЛЕДОВАНИЕ КАТАЛИТИЧЕСКОГО АНТИИДИОТИПИЧЕСКОГО АНТИТЕЛА К АЦЕТИЛХОЛИНЭСТЕРАЗЕ ЭРИТРОЦИТОВ ЧЕЛОВЕКА

© 2002 г. Е. С. Александрова<sup>\*\*</sup>, Ф. Коралевски<sup>2\*</sup>, М. И. Титов\*, А. В. Демин<sup>3\*</sup>,  
А. В. Козырь\*, А. В. Колесников\*, А. Трамонтано<sup>4\*</sup>, С. Паул<sup>4\*</sup>, Д. Тома<sup>2\*</sup>,  
А. Г. Габибов\*, Н. В. Гнучев<sup>3\*</sup>, А. Фрибуле<sup>2\*</sup>

\* Институт биоорганической химии им. М.М. Шемякина и Ю.А. Свчинникова РАН,

117997 ГСП, Москва, В-437, ул. Миклухо-Маклая, 16/10;

<sup>2</sup>\* Технологический университет Компьена, Франция;

<sup>3</sup>\* Институт биологии гена РАН, Москва;

<sup>4</sup>\* Университет Техаса, Хьюстон, США

Поступила в редакцию 13.11.2000 г. Принята к печати 13.08.2001 г.

Проведено структурно-функциональное исследование каталитического моноклонального антитела 9A8 (МА 9A8), являющегося антиидиотипом к антителу АЕ-2, полученному на активный центр ацетилхолинэстеразы эритроцитов человека. Методом поверхностного плазмонного резонанса показано специфическое связывание МА 9A8 с МА АЕ-2 ( $K = 2.26 \times 10^9 \text{ M}^{-1}$ ). Продемонстрирована функциональная активность МА 9A8. В отличие от ацетилхолинэстеразы, оно специфически реагирует с фосфонатными необратимыми ингибиторами эстераз. Методом MALDI-масс-спектрометрии проанализированы результаты пептидного картирования МА 9A8. Показано, что остаток Ser99 тяжелой цепи входит в состав активного центра каталитического антитела. Проведено компьютерное моделирование активного центра МА 9A8. На основании анализа модели высказано предположение о существовании каталитической диады, сформированной остатками Ser99 и His35. Сравнение трехмерных структур МА 9A8 и каталитического антитела МА 17E8, также обладающего эстеразной активностью, но полученного на стабильный аналог переходного состояния реакции, показало практически полное совпадение строения их предполагаемых активных центров.

**Ключевые слова:** антиидиотипические антитела; абзимы ацетилхолинэстеразы; фосфонаты; поверхностный плазмонный резонанс.

### ВВЕДЕНИЕ

Уникальная способность иммунной системы вырабатывать антитела, являющиеся “молекулярными отпечатками” природных или синтетических антигенов, была успешно использована в последние годы для создания антител с заданными каталитическими свойствами. Большинство таких новых биокатализаторов (абзимов) получено на синтетические антигены, являющиеся стабильными аналогами переходных состояний реакций [1–3].

В 1974 г. Нильс Ерни [4] предложил теорию идиотипических сетей, согласно которой иммунная система может представлять собой сеть взаимодействий идиотип–антиидиотип (рис. 1). В рамках этой концепции для каждого антитела Ab1 (идиотипа), направленного против антигена и носителя идиотопа (i1), существует свое антитело

Ab2 (антиидиотип), комплементарно направленное против идиотипических детерминант Ab1 и само несущее идиотоп (i2). Эта схема многократно повторяется.

Таким образом, связывающий центр антиидиотипического антитела (Ab2) может нести в себе “внутренний образ” исходного антигена [5]. Эта гипотеза привела к идею получения каталитических антител путем отражения активных центров ферментов. В этом случае антитело, полученное на активный центр фермента играет роль антигена на втором этапе иммунизации, в ходе которой индуцируется получение антиидиотипического антитела со свойствами, отражающими первый антиген – фермент.

Ранее структурная и функциональная мимикация активных центров ферментов аутоантителами была предложена как одна из гипотез, объясняющих появление абзимов при аутоиммунных патологиях [6, 7].

<sup>#</sup> Автор для переписки (факс: (095) 310-70-07; эл. почта: lenik@ibch.ru).

Это предположение вскоре было подтверждено успешным получением, согласно схеме (рис. 1), антиидиотипических антител к холинэстеразе [8] и бета-лактамазе [9].

Ранее иммунизацией мыши моноклональным антителом АЕ-2 (MA AE-2), полученным на активный центр ацетилхолинэстеразы человеческих эритроцитов (HE AChE), проявляющим высокую специфичность к ее активному центру и ингибирующим ее ферментативную активность, было получено антиидиотипическое антитело (IgM) 9A8, проявляющее сходную с HE AChE активность и также ингибирующееся идиотипом MA AE-2 [8].

Ингибирующее действие АЕ-2 на ацетилхолинэстеразу и ее антиидиотип MA 9A8 является строгим подтверждением концепции идиотипических сетей Н. Ерни и основным фактом для демонстрации функциональных свойств исследуемого антитела. Представлялось интересным количественно охарактеризовать специфичность этого взаимодействия. Для его изучения использовали метод поверхностного плазмонного резонанса, позволяющий проводить прямое детектирование взаимодействующих биомолекул [10]. В основе метода лежит явление поверхностного плазмонного резонанса, который возникает на поверхности металла при условии полного внутреннего отражения и характеризуется специфическим для каждого плазмона углом отражения и, следовательно, специфическим показателем преломления. Взаимодействия между молекулами на поверхности металла приводят к изменению характеристик поверхностного плазмона, что выражается в изменении резонансного угла и, следовательно, показателя преломления в поверхностном слое. По величине изменения показателя преломления судят о силе взаимодействия биомолекул. Исследование проводили на приборе BIACORE (Pharmacia, Швеция), в котором применяют сенсорные чипы, представляющие собой золотую поверхность, покрытую декстрановой матрицей. В данном эксперименте применяли сенсорные чипы с ковалентно иммобилизованным на матрице стрептавидином, что позволило использовать аффинное взаимодействие биотин–стрептавидин для прочного связывания биотинилированного лиганда (антивидовых антител к константным фрагментам мышьих IgG) с поверхностью чипа.

Концентрацию вводимого во взаимодействие с MA AE-2 антиидиотипического MA 9A8 варьировали в широких пределах ( $3 \times 10^{-5}$ – $3 \times 10^{-8}$  М), покрывая все теоретически возможные значения констант связывания для взаимодействия антиген–антитело (рис. 2).

Метод поверхностного плазмонного резонанса демонстрирует достаточно быстрое установление равновесия идиотип–антиидиотип. Гиперболический характер зависимости свидетельствует

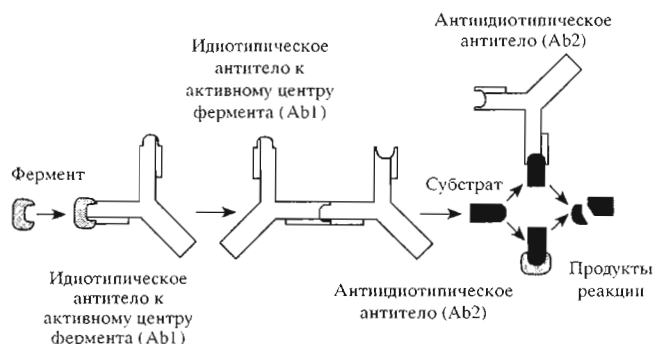


Рис. 1. Схема теории идиотипических сетей Н. Ерни [4].

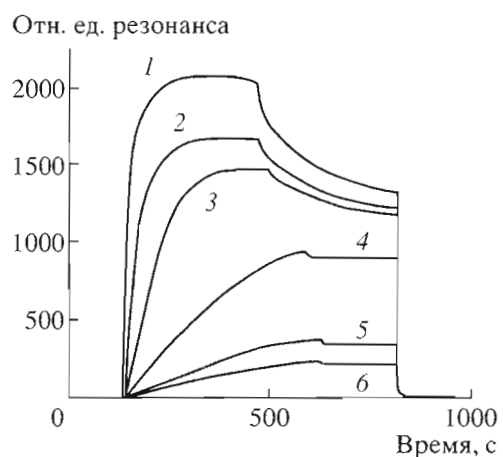
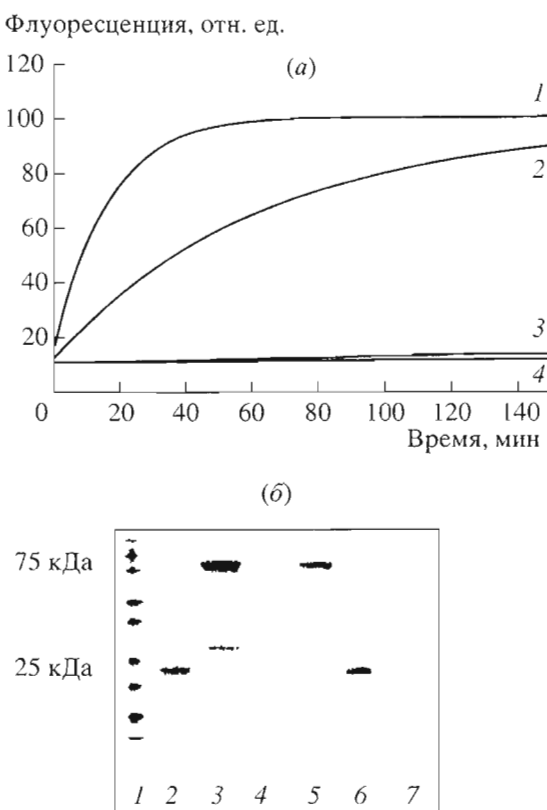


Рис. 2. Анализ взаимодействия между MA AE-2 (идиотип) и MA 9A8 (антиидиотип) методом поверхностного плазмонного резонанса. Концентрации вводимого во взаимодействие с иммобилизованным MA AE-2 антидиотипом MA 9A8 варьировали в диапазоне от  $3 \times 10^{-5}$  М (1) до  $3 \times 10^{-8}$  М (6).

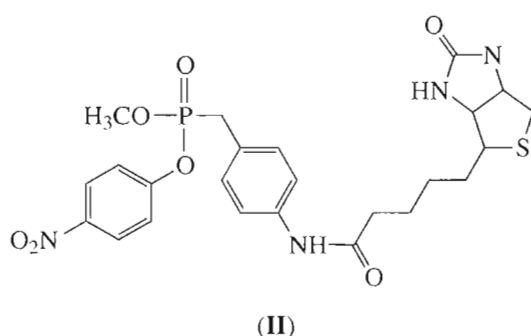
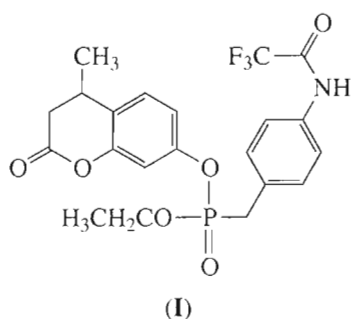
об образовании комплекса. Константу связывания определяли из экспериментальных данных нелинейной аппроксимацией по методу Гаусса–Ньютона. Величина константы связывания  $K = 2.26 \times 10^9$  М<sup>-1</sup> свидетельствует о том, что данное взаимодействие является сильным и соответствует характеристикам взаимодействия антиген–антитело. Таким образом, связывание антител AE-2–9A8 действительно отвечает условию специфического взаимодействия идиотип–антиидиотип.

Специфической особенностью эстераз является их необратимое ингибирирование фосфорорганическими ядами, фосфонатами, обусловленное ковалентным связыванием этих соединений с ферментом через остаток серина активного центра [11]. Поскольку, согласно теории Ерни, MA 9A8 должно нести “внутренний образ” исходного антигена – ацетилхолинэстеразы, интересно было провести сравнительное исследование взаимодействия MA 9A8 и ацетилхолинэстеразы с фосфонатными ингибиторами. Для этой цели были синтезированы



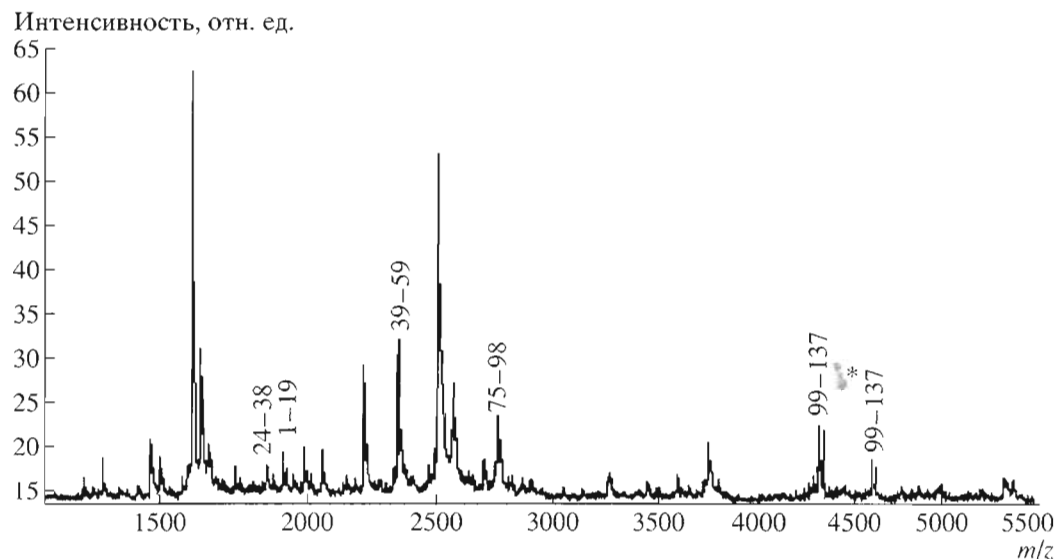
**Рис. 3.** Анализ взаимодействия моноклонального антиидиотипического антитела 9A8 со специфическими фосфонатными ингибиторами эстераз: (а) кинетика взаимодействия соединения (I) с ферментами бутирилхолинэстеразой (1) и ацетилхолинэстеразой (3) и моноклональными IgM 9A8 (2) и 2H11 (4); (б) вестерн-блот-анализ взаимодействия MA 9A8 (3, 5), трипсина (2, 6) и MA 2H11 (4, 7) с биотинилированными ингибиторами: биотинил-AEBSF (2, 3, 4) и соединением (II) (5, 6, 7). 1 – маркер молекулярных масс.

два подобных соединения, представляющих собой производные дизопропилфторфосфата, необратимого ингибитора эстераз и протеиназ: кумаринилэтил[4-(N-трифторацетил)аминобензил]фосфонат (I) и метил-4-нитрофенил[4-(N-биотинил)аминобензил]фосфонат (II). Оба соединения имели группы, облегчающие детекцию взаимодействия: соединение (I) кумаринильную флуоресцентную уходящую группу, а соединение (II) биотинильную.



Методом флуоресцентной спектроскопии было проведено сравнительное исследование взаимодействия соединения (I) с ацетилхолинэстеразой и MA 9A8 – антиидиотипическим антителом к ферменту. В качестве контроля был использован иммуноглобулин класса M MA 2H11 [12], не проявляющий эстеразной и протеиназной активностей, и бутирилхолинэстеразу. Как следует из рис. 3а, фосфонат (I) явился эффективным модификатором бутирилхолинэстеразы, однако он практически не действовал на ацетилхолинэстеразу. В то же время был замечен явный рост квантового выхода флуоресценции в ходе химической модификации абзима соединением (I), связанный с высвобождением кумаринильной группы. Расчетные кинетические константы скорости взаимодействия бутирилхолинэстеразы и абзима MA 9A8 с соединением (I) составили 0.062 и 0.0154 мин<sup>-1</sup> соответственно. MA 2H11, выбранный в качестве отрицательного контроля, не взаимодействовал с соединением (I). Объяснением инертности ацетилхолинэстеразы может служить тот факт, что ее активный центр находится на дне узкой щели и недоступен для объемного модификатора (I) [13, 14]. Расположение активного центра бутирилхолинэстеразы позволяет доступ к таких объемных молекул.

Для контроля за модификацией MA 9A8 соединением (II), несущим детектируемый остаток биотина, применяли вестерн-блот-анализ (рис. 3б). В качестве модифицирующего агента использовали также 4-(2-биотиниламиноэтил)бензилсульфонилфторид (биотинил-AEBSF), биотинилированный аналог необратимого ингибитора сериновых гидролаз [15], выбранный в качестве положительного контроля. Контрольными белками служили трипсин (положительный) и MA 2H11 (отрицательный). Из рис. 3б следует, что трипсин модифицировался как биотинил-AEBSF, так и соединением (II) (дорожки 2, 6), в то время как MA 2H11 не реагировало с ними (дорожки 4, 7). Появление при модификации MA 9A8 полосы с массой около 70 кДа, соответствующей его тяжелой цепи (рис. 4б, дорожки 3, 5), свидетельствовало о взаимодействии абзима с обоими биотинилированными фосфонатами. Эффективность низкой концентрации модифицирующего агента (II) (100 пМ),



**Рис. 4.** MALDI-масс-спектр триптического гидролизата антидиотипического антитела 9A8, модифицированного соединением (I). Отмечены пики, соответствующие пептидам – фрагментам гипервариабельного участка тяжелой цепи. Звездочкой отмечен пик, соответствующий пептиду, модифицированному соединением (I).

соответствующая концентрациям биотинилированных фосфонатов при специфической модификации эстераз и протеиназ [16], подтверждает высокоспецифичность взаимодействия абзима с биотинилированным соединением (II).

Реакционная способность антидиотипического абзима демонстрирует, что потенциальные реакционноспособные группы его активного центра, в отличие от активного центра ацетилхолинэстеразы (см. выше), достаточно доступны для модифицирующего действия фосфоната. Таким образом, отражение трехмерной структуры активного центра ацетилхолинэстеразы в гипервариабельных участках абзима неполно. Несмотря на свое функциональное многообразие, антитела представляют собой очень консервативные структуры, весь широчайший спектр свойств которых вызван различиями в вариабельных областях, небольших по сравнению с общим размером молекул антител. По-видимому, в гипервариабельных участках молекул абзимов могут быть отражены лишь главные особенности строения исходных антигенов, способные в ряде случаев обеспечить катализитические функции.

Как уже отмечалось выше, соединения, использованные нами как потенциальные необратимые ингибиторы эстераз во флуориметрических исследованиях, являлись производными дизопропиофторфосфата и, вероятнее всего, вступали во взаимодействие с остатком серина активного цен-

тра. Представлялось возможным идентифицировать эту ключевую аминокислоту методом масс-спектрометрического пептидного картирования фермент-ингибиторных комплексов [17].

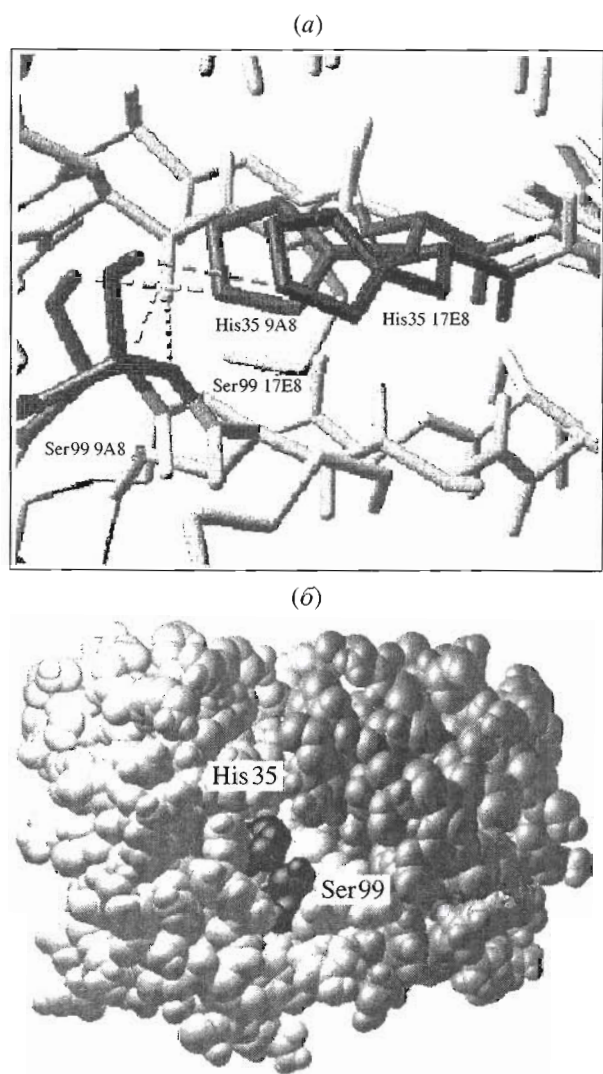
Для решения поставленной задачи был проведен компьютерный анализ потенциальных сайтов расщепления абзима MA 9A8 протеиназами с помощью программы GPMAW (General Peptide Mass Analysis for Windows) на основе аминокислотной последовательности антидиотипического антитела 9A8, установленной нами ранее [18]. Анализ молекулярных масс теоретически рассчитанных пептидов выявил предпочтительность использования трипсина.

Сравнение данных MALDI-масс-спектрометрии для триптических гидролизатов MA 9A8 и этого же антитела, предварительно подвергнутого модификации соединением (I), продемонстрировало появление дополнительного молекулярного иона в случае модифицированного абзима (рис. 4). Его молекулярная масса ( $M = 4625$  Да) увеличена за счет модификации по сравнению с триптическим фрагментом 99–137 ( $M = 4331$  Да). Таким образом, наиболее вероятно, что катализитически активный остаток Ser MA 9A8 входит в состав пептида 99–137 с массой  $M = 4331$  Да, который включает в себя последовательно третий гипервариабельный участок (99–105), четвертый каркасный регион (106–116) и начало последовательности константного участка тяжелой цепи (117–137) [18].



Для окончательной идентификации положения катализитически активного остатка серина

триптический гидролизат MA 9A8, модифицированный соединением (II), был подвергнут аффин-



**Рис. 5.** Трехмерная компьютерная модель активного центра антидиотипического антитела 9A8. (а) Сравнительное взаиморасположение предполагаемых катализитических диад Ser99 и His35 активных центров эстеролитических антител 9A8 (светлое изображение) и 17E8 (темное изображение). Пунктирной линией обозначены водородные связи; (б) пространственное расположение аминокислотных остатков катализитической диады Ser99 и His35 в молекуле антитела 9A8. Светло-серое изображение – тяжелая цепь, темно-серое – легкая цепь. Катализитическая диада выделена черным цветом.

ной хроматографии на сорбенте, содержащем монавидин (Soft Release Avidine Resin, Promega). Модифицированный пептид был выделен благодаря содержанию в нем биотинильного остатка. Масс-спектр элюата показал наличие в исследуемой пробе единственного пептида с массой, соответствующей модифицированному пептиду 99–137 ( $M = 4667$  Да).

Третий гипервариабельный участок исследуемого антитела 9A8 содержит единственный оста-

ток серина (Ser99) [18]. Другие остатки серина в рассматриваемом пептиде 99–137 входят в состав константных регионов, достаточно консервативных по своему строению и не определяющих функциональных свойств антитела. Таким образом, масс-спектрометрический анализ однозначно свидетельствует о том, что именно остаток Ser99 тяжелой цепи – часть активного центра абзима.

Трехмерная компьютерная модель МА 9A8 была построена нами при помощи программы Swiss Model [19]. Из рис. 5а видно, что остаток His35 первого гипервариабельного участка тяжелой цепи расположен достаточно близко к остатку Ser99 для образования водородной связи с его гидроксилом. Из литературных данных известно, что остаток His35 тяжелой цепи является ключевым в некоторых эстеролитических абзимах, полученных на аналог переходного состояния реакции, и участвует как в общесосновном, так и в ко-валентном катализе [20–23]. Рис. 5б показывает, что активный центр абзима расположен на поверхности Fab-фрагмента, в неглубоком кармане, сформированном тяжелой цепью.

Основываясь на предложенной модели можно сказать, что исследуемое антитело обладает катализитической диадой, образованной остатками Ser99 и His35. Катализитическая диада распространена для многих ферментов и некоторых катализитических антител, в том числе и для эстеролитического антитела 17E8, полученного на аналог переходного состояния реакции эстеролиза [23]. При сравнении вариабельных фрагментов последовательностей МА 9A8 [18] и МА 17E8 [23] можно проследить некоторые общие элементы их структур. Как и в случае МА 17E8, катализитическая диада МА 9A8 сформирована остатками Ser99 и His35 тяжелой цепи. Начало последовательности третьего гипервариабельного участка обоих антител также совпадает (Ser-Tyr-Tyr-Gly). В катализитический механизм МА 17E8 включен еще один аминокислотный остаток – Tyr101 [23]. Последовательность МА 9A8 также содержит остаток Tyr101, который, вероятно, может принимать участие и в механизме катализа антителом 9A8.

В заключение нельзя не отметить, что рассмотренные катализитические антитела 9A8 и 17E8, созданные для моделирования одной и той же функции (гидролиз эфиров) и использующие относительно близкие механизмы катализа (идентичные катализитические диады), получены по принципиально разным схемам. МА 17E8 получено на аналог переходного состояния реакции эстеролиза, в то время как МА 9A8, ставшее практической реализацией теории идиотипических сетей, направлено на воспроизведение активного центра самой эстеразы, а не переходного состояния реакции.

## ЭКСПЕРИМЕНТАЛЬНАЯ ЧАСТЬ

В работе использовали три(гидроксиметил)аминометан (Sigma), акриламид, *N,N*-метиленбисакриламид (Bio-Rad), Твин-20 (Bio-Rad), бычий сывороточный альбумин (Sigma), трипсин (Sigma), дитиотрейт (Sigma), йодацетамид (Sigma), коли и другие химические реагенты фирм Sigma, BioRad, Merck; нитроцеллюлозные мембранные (Amersham, Англия), антивидовые антитела (Sigma). Остальные реагенты отечественного производства марки "ос.ч".

Соединения (I) и (II) синтезированы А. Трамонтано [24].

Биотинил-AEBSF получали инкубацией в течение 24 ч *N*-гидроксисукцинилмидного эфира *N*-биотиниламиноакропоновой кислоты (Sigma) и 4-(2-аминоэтил)-бензилсульфонилфторида (Sigma) в соотношении 1 : 1.1 в диметилсульфоксиде при комнатной температуре. Полноту протекания реакции оценивали ТСХ в системе метанол–хлороформ, 2 : 8.

**Моноклональные антитела** МА 9A8 и МА AE-2 нарабатывали в мышах линии BALB/c, которым предварительно (за 7 сут) вводили пристан (0.5 мл/мышь). Клетки гибридом 9A8 и AE-2, производящих соответствующие антитела, вводили внутрибрюшинно, из расчета 3 млн. клеток/мышь. Асцитную жидкость собирали через 7–10 сут.

**Моноклональное антитело 2H11** любезно предоставлено М.И. Шахпароновым (ИБХ РАН) [12].

**МА 9A8** очищали хроматографически (ВЭЖХ). Асцитную жидкость фракционировали на колонке (HR 10/30) с сефакрилом Super-fine S-200 (Pharmacia), уравновешенной 0.1 М фосфатным буфером, pH 7.4. Скорость элюции 0.5 мл/мин. Интересующий нас белок (молекулярная масса IgM составляет около 900000 Да) элюировался в первом пике.

Дальнейшую очистку антител проводили на ионообменной колонке (HR 5/10) с керамическим гидроксиапатитом (Bio-Rad). Пробу наносили в 10 mM калий-фосфатном буфере, pH 6.8, со скоростью 1 мл/мин. Элюцию осуществляли в линейном градиенте концентрации фосфата калия от 10 до 400 mM и pH от 6.8 до 8.0 в течение 40 мин с последующей 10-минутной элюзией 400 mM фосфатом калия, pH 8.0.

**Очистку МА AE-2** осуществляли на белок А-сефарозе (Bio-Rad), следуя рекомендациям фирмы-производителя.

**Взаимодействие МА AE-2–МА 9A8** исследовали на приборе BIACORE (Pharmacia). Использовали сенсорные чипы с ковалентно иммобилизованными на поверхности декстрановой матрицы стрептавидином SA (Pharmacia). Каждый рабочий цикл проводили в 0.1 M фосфатном буфере, pH 7.4, при постоянной скорости потока, равной

5 мкл/мин. На поверхность чипа наносили 30 мкл (разведение 1 : 30) биотинилированных кроличьих IgG антител, специфичных к константным фрагментам мышиных IgG (Sigma), затем на подготовленную поверхность чипа иммобилизовывали избыток идиотипического антитела AE-2 в объеме 30 мкл, конечное количество белка на поверхности чипа  $1.8 \times 10^{-10}$  M. Антидиотипическое антитело 9A8 наносили в диапазоне концентраций ( $3 \times 10^{-5}$ – $3 \times 10^{-8}$  M) в объеме 30 мкл. После каждого акта нанесения абзима поверхность регенерировали промыванием 10 мл 0.1 M глицина–HCl, pH 2.4. Линеаризацию кривой насыщения и расчет констант связывания проводили методом нелинейного регрессионного анализа.

**Взаимодействие МА 9A8** с кумаринилэтил[4-(*N*-трифторацетил)аминонензил]fosfonатом (I) исследовали с помощью спектрофлуориметра Aminco SPF 1200. Концентрация соединения (I)  $10^{-6}$  M, концентрации белков (МА 9A8, ацетилхолинэстеразы, бутирилхолинэстеразы, МА 2H11)  $5.5 \times 10^{-8}$  M. Все эксперименты проводили в 0.1 M фосфатном буфере, pH 7.8. Длина волны возбуждения 365, длина волны испускания 450 nm, ширина щелей 20 nm, длина оптического пути 1 см. В раствор белка вносили соединение (I) и за ходом реакции следили по изменению интенсивности флуоресценции, обусловленному отщеплением остатка кумарина в ходе реакции. Показания снимали каждые 5 мин в течение 2 ч.

**Взаимодействие МА 9A8, МА 2H11 и трипсин с биотинилированными соединениями** метил-4-нитрофенил[4-(*N*-биотинил)аминонензил]fosfonатом (II) и 4-(2-биотиниламиноэтил)бензилсульфонилфторидом (биотинил-AEBSF) осуществляли при комнатной температуре в течение 1 ч в 0.1 M фосфатном буфере, pH 7.4. Количество исследуемых белков 5.5 pmоль, ингибиторов 100 pmоль.

Для реакции антитела МА 9A8 с соединением (II) с целью последующего выделения модифицированного пептида использовали 3.3 mg антитела (3.66 мкмоль) и 20-кратный избыток модификатора – 73.2 мкмоль. Реакцию проводили в условиях, указанных выше.

**Вестерн-блот-анализ** осуществляли по стандартному протоколу [25]. Мембрану с перенесенными на нее белками инкубировали с нейтравидин-пероксидазой (Pierce) в разведении 1 : 2000 в течение 1 ч и окрашивали 4-хлор-1-нафтоловом.

**Трипсинолиз антител.** К антителам (1 mg/ml) в буфере, содержащем 0.1 M бикарбонат аммония, добавляли свежеприготовленный раствор дитиотреита (0.1 M) до конечной концентрации 5 mM и инкубировали в течение 20 мин при 50°C. К охлажденной до комнатной температуры реакционной смеси прибавляли свежеприготовленный раствор йодацетамида (0.2 M) до конечной концентрации

рации 25 мМ и оставляли в темноте на 30 мин. К подготовленному к гидролизу белку добавляли раствор трипсина в воде до весового соотношения фермент–субстрат 1 : 20 и инкубировали при 37°C 4 ч. Реакцию останавливали добавлением 5% трифторуксусной кислоты до pH ниже pH 4.

**Пептид МА 9A8 99–137, модифицированный соединением (II)** выделяли ВЭЖХ на колонке HR 5/5 (Pharmacia) с иммобилизованным мономерным авидином (Soft Release Avidine Resin, Promega) ( $K_d$  10<sup>-7</sup> M) в фосфатно-солевом буфере (PBS), pH 7.4. Для блокирования сайтов необратимого связывания смолу промывали двумя объемами колонки 5 мМ раствором биотина на скорости 0.1 мл/мин и оставляли на 15 мин для связывания биотина. Сорбент регенерировали пропусканием восьми объемов колонки 10% уксусной кислоты со скоростью 0.5 мл/мин. Далее смолу промывали PBS до достижения pH 6.8 и останавливали поток на 1 ч для рефолдинга авидина.

Триптический гидролизат модифицированного антитела наносили на подготовленный сорбент в PBS со скоростью 0.1 мл/мин. Элюцию осуществляли 5 мМ раствором биотина в PBS со скоростью 0.5 мл/мин. По окончании элюции биотином смолу промывали двумя объемами колонки 10% уксусной кислотой для окончательной очистки сорбента.

**Приготовление образцов для MALDI-масс-спектрометрического анализа.** Приготовление пробы осуществляли методом высушенной капли. В качестве матрицы использовали 2,5-дигидробензойную кислоту (25 мг/мл в 30% ацетонитриле). На мишень наносили последовательно, капля на каплю, 0.2 мкл 2% трифторуксусной кислоты, 0.2 мкл (около 10 пмоль) раствора образца и 0.2 мкл раствора матрицы и оставляли при комнатной температуре до полного высыхания.

**MALDI-масс-спектрометрический анализ** осуществляли на времязпролетном (TOF) масс-спектрометре VISION 2000 (ThermoBioAnalysis, США). В качестве способа ионизации использовалась матрично-стимулированная лазерная десорбция (MALDI). Регистрировались положительно заряженные ионы в режиме отражения.

**Компьютерную модель МА 9A8** получали при помощи программы Swiss Model Program, использующей гомологичные антитела известной структуры для ввода координат.

Работа выполнена при финансовой поддержке программы “Научные школы” (грант N00-15-97844).

## СПИСОК ЛИТЕРАТУРЫ

- Jenks W.P. Catalysis in Chemistry and Enzymology. New York: McGraw-Hill Book Company Inc., 1969.
- Tramontano A., Janda K.D., Lerner R.A. // Science. 1986. V. 234. P. 1566–1570.
- Pollack S.J., Jacobs J.W., Schultz P.G. // Science. 1986. V. 234. P. 1570–1573.
- Jerne N.K. // Ann. Immun. 1974. V. 125C. P. 373–378.
- Pan Y., Yuhasz S.C., Amzel L.M. // FASEB J. 1995. V. 9. P. 43–56.
- Bronshstein I.B., Shuster A.M., Gololobov G.V., Gromova I.I., Kvashuk O.A., Belostotskaya K.M., Alekberova Z.S., Prokaeva T.B., Gabibov A.G. // FEBS Lett. 1992. V. 314. P. 259–263.
- Shuster A.M., Gololobov G.V., Kvashuk O.A., Bogomolova A.E., Smirnov I.V., Gabibov A.G. // Science. 1992. V. 256. P. 665–667.
- Izadyar L., Friboulet A., Remy M.H., Roseto A., Thomas D. // Proc. Natl. Acad. Sci. USA. 1993. V. 90. P. 8876–8880.
- Avalle B., Thomas D., Friboulet A. // FASEB J. 1998. V. 12. P. 1055–1060.
- Brigham-Burke M., Edwards J.R., O’Shannessy D.J. // Anal. Biochem. 1992. V. 205. P. 125–131.
- Quinn D.M. // Chem. Rev. 1987. V. 87. P. 955–979.
- Корнеенко Т.В., Пестов Н.Б., Егоров М.В., Иванова М.В., Костина М.Б., Шахпаронов М.И. // Биоорган. химия. 1997. Т. 23. С. 800–804.
- Soreq H., Gnatt A., Loewenstein Y., Neville L.F. // Trends Biochem. Sci. 1992. V. 17. P. 353–358.
- Radic Z., Pickering N.A., Vellom D.C., Camp S., Taylor P. // Biochemistry. 1993. V. 32. P. 12074–12084.
- Baker B.R., Cory M.J. // J. Med. Chem. 1971. V. 14. P. 119–125.
- Glynn P., Read D. J., Guo R., Wylie S., Johnson M.K. // Biochem. J. 1994. V. 301(2). P. 551–556.
- Kussmann M., Lassing U., Sturmer C.A.O., Przybylsky M., Roepstorff P. // J. Mass Spectrom. 1997. V. 32. P. 483–493.
- Kolesnikov A.V., Kozyr A.V., Alexandrova E.S., Koralowski F., Avalle B., Demin A.V., Titov M.I., Tramontano A., Paul S., Thomas D., Gabibov A.G. // Proc. Natl. Acad. Sci. USA. 2000. V. 97. P. 13526–13531.
- Guex N., Peitsch M.C. // Electrophoresis. 1997. V. 18. P. 2714–2723.
- Patten P.A., Gray N.S., Yang P.L., Marks C.B., Wedemayer G.J., Boniface J.J., Stevens R.C., Schultz P.G. // Science. 1996. V. 271. P. 1086–1091.
- Gigant B., Charbonnier J.-B., Eshhar Z., Green B.S., Knossow M. // Proc. Natl. Acad. Sci. USA. 1997. V. 94. P. 7857–7861.
- Charbonnier J.-B., Golinelli-Pimpaneau B., Gigant B., Tawfik D.S., Chap R., Schindler D.G., Kim S.H., Green B.S., Eshhar Z., Knossow M. // Science. 1997. V. 275. P. 1140–1142.
- Zhou W., Guo J., Huang W., Fletterick R.J., Scanlan T.S. // Science. 1994. V. 265. P. 1059–1064.
- Tramontano A., Ivanov B., Gololobov G.V., Paul S. // Appl. Biochem. Biotechnol. 2000. V. 83. P. 233–243.
- Harlow E., Lane D. Antibodies: A Laboratory Manual. Cold Spring Harbor, New York; Cold Spring Harbor Lab. Press, 1988. P. 726.

# A Structure–Function Study of a Catalytic Antiidiotypic Antibody to the Human Erythrocyte Acetyl Cholinesterase

E. S. Aleksandrova\*,<sup>#</sup>, F. Koralevski\*\*, M. I. Titov\*, A. V. Demin\*\*\*,  
 A. V. Kozyr\*, A. V. Kolesnikov\*, A. Tramontano\*\*\*\*, S. Paul\*\*\*\*,  
 D. Thomas\*\*, A. G. Gabibov\*, N. V. Gnuchev\*\*\*, and A. Friboulet\*\*

<sup>#</sup>Fax: +7 (095) 310-7007; e-mail: lenik@ibch.ru

\*Shemyakin–Ovchinnikov Institute of Bioorganic Chemistry, Russian Academy of Sciences,  
 ul. Miklukho-Maklaya 16/10, GSP Moscow, 117997 Russia

\*\*Technological University of Compiegne, France

\*\*\*Institute of Gene Biology, Russian Academy of Sciences, ul. Vavilova 34/5, Moscow, 117984 Russia

\*\*\*\*University of Texas, Houston, USA

The catalytic monoclonal antibody 9A8 (MA 9A8), antiidiotypic to the antibody AE-2 (MA AE2) produced to the active site of acetyl cholinesterase from human erythrocytes, was subjected to a structure–function study. The specific binding of MA 9A8 to MA AE2 ( $K = 2.26 \times 10^9 \text{ M}^{-1}$ ) was shown by the method of surface plasmon resonance, and the functional activity of MA 9A8 was demonstrated. Unlike acetyl cholinesterase, this antibody specifically reacted with the irreversible phosphonate inhibitors of esterases. A peptide map of MA 9A8 was analyzed by MALDI mass spectrometry. The Ser99 residue of its heavy chain was shown to be within the active site of the catalytic antibody. A computer modeling of the MA 9A8 active site suggested the existence of a catalytic dyad formed by Ser99 and His35. A comparison of the tertiary structures of the MA 9A8 and the 17E8 monoclonal antibody, which also exhibited an esterase activity and was produced to the stable analogue of the reaction transition state, indicated a practically complete coincidence of the structures of their presumed active sites. The English version of the paper: *Russian Journal of Bioorganic Chemistry*, 2002, vol. 28, no. 2; see also <http://www.maik.ru>.

*Key words:* abzymes of acetyl cholinesterase, antiidiotypic antibodies, phosphonates, surface plasmon resonance